

ANALISIS PENGARUH VARIASI KUAT ARUS DAN MEDIA PENDINGIN TERHADAP KEKUATAN TARIK DAN STRUKTUR MIKRO DENGAN PENGELASAN SMAW PADA BAJA ASTM A36

by Fakhrul Roziq

Submission date: 15-Jan-2024 06:46PM (UTC+0700)

Submission ID: 2271329466

File name: Fakultas_1421900148_Fakhrul_Roziq.pdf (3.03M)

Word count: 1132

Character count: 6599



1

Publikasi Online Mahasiswa Teknik Mesin

Universitas 17 Agustus 1945 Surabaya

Volume 5 No. 2 (2022)

ANALISIS PENGARUH VARIASI KUAT ARUS DAN MEDIA PENDINGIN TERHADAP KEKUATAN TARIK DAN STRUKTUR MIKRO DENGAN PENGELASAN SMAW PADA BAJA ASTM A36

1
Fakhrul Roziq, Maula Nafi, S.T., M.T.

Program Studi Teknik Mesin, Fakultas Teknik, Universitas 17 Agustus 1945 Surabaya

Jalan Semolowaru No. 45 Surabaya 60118, Tel. 031-5931800, Indonesia

email: fakhrulroziq56@gmail.com

ABSTRAK

Pengelasan adalah suatu sambungan metallurgi dalam penyambungan logam atau paduan yang dilakukan dalam keadaan cair atau cair. Definisi ini dapat digunakan untuk menjelaskan lebih lanjut bahwa pengelasan adalah penyambungan lokal dua atau lebih batang logam dengan menggunakan energi panas. Menurut AWS (*American Welding Society*), proses pengelasan adalah proses penyambungan logam atau non logam dengan cara memanaskan material yang digunakan sampai pada suhu pemanasan tertentu dengan penekanan atau tidak penekanan dan dengan logam atau non logam pengisi.

Metode yang digunakan pada penelitian ini adalah pengelasan SMAW menggunakan baja ASTM A36 dengan memvariasikan arus dan media pendingin. Kuat arus yang bervariasi adalah 85 A, 95 A, dan 105 A, serta media pendinginnya juga bervariasi. Air, minyak, dan minyak ringan dapat digunakan dengan elektroda E.7018 pertama digunakan untuk mengumpulkan data sampel menggunakan data yang dikumpulkan atau disurvei. Itu digunakan dalam penelitian sebagai panduan. Metode status kemudian menganalisis sifat-sifat sampel yang dipilih dan menguji kekuatan tarik dan struktur mikro hasil pengelasan. Yang ketiga adalah metode evaluasi yang mengevaluasi data yang diperoleh untuk memastikan diperoleh hasil yang maksimal.

Hasil studi uji tarik baja ASTM A36 adalah nilai kekuatan tertinggi yaitu rata-rata nilai tegangan maksimum 52,31 kg/mm² perubahan intensitas arus menggunakan media pendingin air dan nilai tegangan terendah yaitu rata-rata nilai tegangan maksimum 42,18 Variasi intensitas arus akibat kg/mm² media pendingin surya adalah 85 A. Begitu pula untuk pengujian struktur, nilai ini diperoleh dari perhitungan ukuran butir pada area logam las dengan nilai ukuran butir maksimum 11,2 dengan ukuran butir 0,0112 mm pada arus 85A menggunakan media pendingin surya dan hasilnya . Jumlah butir juga ditentukan. Ukuran minimal 6,7 dan ukuran partikel 0,0067 mm pada arus 105 A dengan menggunakan media pendingin air. Artinya pembesaran butir menyebabkan penurunan nilai kekuatan material .

Kata kunci : Pengelasan SMAW, Media Pendingin, Kuat Arus

ABSTRACT

*Welding is a metallurgical connection in which metals or alloys are joined in a molten or liquid state. This definition can be used to further explain that welding is the local joining of two or more metal rods using heat energy. According to AWS (*American Welding Society*), the welding process is the process of joining metals or non-metals by heating the materials*

used to a certain heating temperature with pressing or not pressing and with metal or non-metal fillers.

The method used in this research is SMAW welding using ASTM A36 steel by varying the current and cooling medium. The varying current strengths are 85 A, 95 A, and 105 A, and the cooling media also varies. Air, oil, and light oil can be used with the E.7018 electrode first used to collect sample data using the collected or surveyed data. It is used in research as a guide. The status method then analyzes the properties of the selected samples and tests the tensile strength and microstructure of the weld results. The third is an evaluation method that releases the data obtained to ensure maximum results are obtained.

The results of the ASTM A36 steel tensile test study are the highest strength value, namely the average maximum stress value of 52.31 kg/mm², changes in current intensity using air cooling media and the lowest stress value, namely the average maximum stress value of 42.18. Variation in current intensity due to kg /mm² solar cooling media is 85 A. Likewise for structural testing, this value is obtained from calculating the grain size in the weld metal area with a maximum grain size value of 11.2 with a grain size of 0.0112 mm at a current of 85A using solar cooling media and the results . The number of items is also determined. Minimum size 6.7 and particle size 0.0067 mm at a current of 105 A using air cooling media. This means that the grain height causes a decrease in the strength value of the material.

Keywords: SMAW welding, cooling media, current strength.

PENDAHULUAN

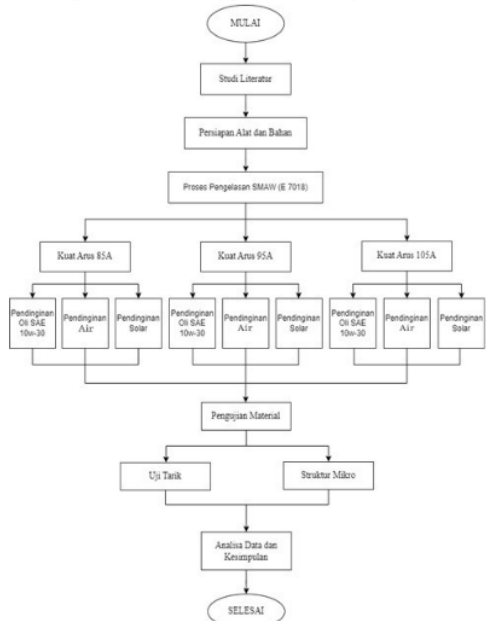
Dalam industri, proses pengelasan merupakan salah satu operasi yang paling umum digunakan dalam bidang konstruksi. Pengelasan sering digunakan untuk menyambung bahan logam dan untuk memperbaiki perkakas logam atau baja tahan karat. Cakupan penerapan teknologi pengelasan dalam konstruksi sangat luas, mulai dari kapal, jembatan, rangka baja, saluran pipa, dll. Teknologi pengelasan busur dengan menggunakan elektroda pangkuan banyak digunakan untuk menyambung batangan pada bangunan baja dan struktur mekanis. Pengelasan adalah cara yang efisien dan efektif untuk mencapai tujuan desain. Oleh sebab itu, pembentukan yang akan dilas dan pola pengelasan harus memperhatikan kesesuaian antara karakter mekanik dan fisik benda yang akan dilas dengan keunggulan serta keadaan lokal struktur tersebut.

Prosedur pengelasan yang umum digunakan dalam bidang konstruksi dan industri adalah pengelasan logam disebut juga pengelasan SMAW (shielded metal arc weld) atau pengelasan busur, dimana proses pengelasan tersebut menggunakan panas untuk melelehkan logam dasar. Variasi bahan dan elektroda E 7018 memiliki diameter 2,6

mm, mengandung sekitar 25 hingga 40% serbuk besi, yang biasa digunakan pada mesin las AC dan DC, dan merupakan jenis hidrogen rendah yang memungkinkan pengelasan di semua posisi. Hal ini dikarenakan proses pengelasan SMAW lebih efisien dan mudah digunakan pada setting/posisi pengelasan yang berbeda. Penelitian ini dilakukan untuk mengukur kekuatan tarik dan menganalisis butiran mikrostruktur baja ASTM A36.

Oleh karena itu dilakukan penyelidikan terhadap variasi intensitas arus. Dalam hal ini, gunakan sudut pantat berbentuk V dengan diameter 60°. Variasi arus yang penulis gunakan adalah 85A, 95A, dan 105A, serta pendinginnya adalah oli, air, dan solar SAE 10W-30. Tujuan dari penelitian ini adalah mengetahui sifat material baja ASTM A36 melalui uji tarik buat mengetahui kuat tarik baja dan melalui struktur mikro buat mengetahui berukuran butir yg nantinya mensugesti kekuatan baja tadi.

LANGKAH - LANGKAH EKSPERIMEN



Gambar 1. Flowchart penelitian

Langkah pertama diawali dengan penemuan ide dan pemikiran untuk melaksanakan penelitian yang dilatarbelakangi oleh pengujian tarik dan mikrostruktur sampel baja ASTM A36. Selanjutnya untuk menentukan kuat tarik dan ukuran butir mikrostruktur sampel baja ASTM A36, berdasarkan saran dan nasehat pembimbing mengenai hasil proses pengelasan dan pendinginan dengan menggunakan variasi dan variabel yang berbeda. Selanjutnya dilakukan studi literatur Jurnal-jurnal yang tercantum dalam flowchart penelitian ini merupakan jurnal-jurnal yang dijadikan acuan dalam penulisan makalah. Jurnal ini menjadi acuan dan landasan penelitian dalam penyusunan makalah ini. Untuk penelitian ini, penulis mendapat referensi dari Azwinul, Saifuddin A.Jalil, dan Asmaul Husna, jurusan teknik mesin Universitas Teknologi Negeri Roksmawe, **7**anda Aceh. Judul ini membahas tentang pengaruh variasi arus pengelasan terhadap sifat mekanik proses pengelasan SMAW. Penulis memodifikasi jurnal ini untuk menganalisis pengaruh perubahan arus dan

media pendingin terhadap kekuatan tarik dan struktur mikro pada pengelasan SMAW baja ASTM A36.

Persiapan Bahan

Bahan yang dipergunakan yaitu Baja ASTM A36, berukuran yg digunakan buat proses pengelasan yaitu sebesar 220mm (P) x 110 (L) menggunakan ketebalan 10mm menggunakan total jumlah 9 plat.



Gambar 2. Spesimen material pengelasan
Proses Pengelasan

Proses pengelasan ini dibutuhkan 3 kuat arus yaitu 85A, 95, 105A. Dengan elektroda menggunakan E.7018 dengan diameter Ø 2,6 mm. Berikut tahapan yang akan dilakukan :

1. Menyiapkan mesin las SMAW sesuai dengan pemasangan polaritas.
2. Menyiapkan spesimen uji / material baja yang akan dilas.
3. Kampuh yang akan digunakan yaitu jenis kampuh V menggunakan variasi sudut 60° dan bercelah 3mm.
4. Posisi untuk Pengelasan kali ini dimulai dengan cara tack weld agar spesimen uji tetap berada pada posisinya.



Gambar 3. Tack weld untuk material

5. Posisi pengelasan dalam pengelasan ini menggunakan posisi 1G / Mendatar.

6. Menyiapkan elektroda E 7018 untuk spesimen baja ASTM A36.
7. Selanjutnya kabel penjepit negatif (-) dari mesin las SMAW ditempatkan pada material dasar dan kabel penjepit (+) dipasangkan dengan elektroda, hidupkan mesin las SMAW dan melakukan proses pengelasan spesimen, pada saat ujung elektroda digoreskan diperlakukan benda kerja dipastikan elektroda dalam keadaan meleleh.
8. Kuat arus yang akan digunakan yaitu 85A, 95A, dan 105A.
9. Setelah melakukan proses pengelasan, lalu benda kerja didinginkan dengan Oli SAE 10w-30, Air, Solar.

Proses Pendinginan

Proses yang dilakukan pada pendinginan setelah dilakukannya proses pengelasan yaitu :

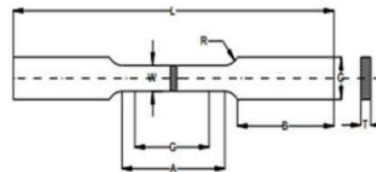
1. Sesudah dilakukan proses pengelasan spesimen uji didiamkan selama 1 menit.
2. Menyiapkan tempat untuk media pendinginan.
3. Spesiemen uji dimasukan ke wadah yang telah diisi media pendingin Oli SAE 10w-30, Air, Solar.
4. Ditunggu sampai baja mendingin dengan sempurna dengan durasi waktu yang menyesuaikan waktu lamanya proses pendinginan pada setiap variasi media pendingin.
5. Lalu Angkat dan diamkan Spesiemen Uji dari wadah media pendingin.



Gambar 4. Media Pendingin

Pembentukan spesimen

Setelah melakukan proses pengelasan, selanjutnya dilakukan pembuatan spesimen untuk melakukan ketahap selanjutnya yaitu tahap pengujian spesimen. Untuk melakukan pembuatan spesimen dibutuhkan 30 spesimen untuk melanjutkan pengujian tarik dan 9 spesimen untuk melakukan uji struktur mikro.



Gambar 5. Standart untuk ASTM E8

Tebal plat (mm)	W (mm)	L (mm)	A (mm)	R (mm)
10	12,5	200	82	12,5

Pengujian Spesimen

Pengujian yang dilakukan yaitu uji tarik, dan uji struktur mikro. Melakukan pengujian ini pada spesimen yang telah dilakukan pengelasan.

Pengujian Tarik

Berikut Langkah – langkah pada uji Tarik :

1. Menyiapkan spesimen yang dilakukan untuk proses pengujian tarik
2. Menyiapkan Komputer guna untuk melihat data dari pengujian Tarik.

3. Benda uji dijepitkan pada ragum yang ada pada mesin pengujian Tarik,
4. Pastikan spesimen terjepit dengan rapat sehingga tidak terlepas dan terjadi kesalahan disaat dalam proses pengujian .
5. Menyalakan mesin uji tarik.
6. Menon-aktifkan mesin uji tarik disaat spesimen patah.
7. Mencatat hasil nilai dari pengujian tarik
8. Melepas spesimen dari cekaman mesin uji tarik dan menandai spesimen sesuai ampere yang ditentukan.
9. Terakhir yaitu membersihkan alat uji.



Gambar 6. Mesin pada Uji Tarik

Pengujian Struktur Mikro

Berikut Langkah – langkah pada Uji Struktur Mikro :

1. Memotong sample bahan sebelum melakukan Uji Metalografi.
2. Menggosok kasar menggunakan kertas ampelas no. 200-2000 dengan satu arah ke permukaan baja yang diteliti.
3. Memeriksa permukaan sample sampai terlihat licin tersebut dibawah ke mikroskop untuk pastikan apakah pekerjaan-pekerjaan sebelumnya telah dilakukan benar sehingga permukaan logam benar-benar telah memenuhi syarat untuk melakukan etsa yang harus dinyatakan telah siap oleh asisten.
4. Mengetsa permukaan yang sudah memenuhi syarat dengan bahan etsa.

5. Meletakan permukaan sample yang sudah dietsa tersebut dibawah mikroskop optik menggunakan pembesaran yang ditentukan.
6. Memotret/memfoto hasil struktur mikro.
7. Foto-foto struktur mikro kemudian diteliti.



Gambar 7. Mikroskop Optik pada Uji Struktur Mikro

HASIL DAN PEMBAHASAN

Hasil Pengujian Tarik

Data – data

Pengelasan :

Jenis bahan : Plat baja karbon rendah
ASTM A36

Tebal plat : 10mm

Bentuk alur / kampuh : Kampuh V 60° (*Single*)

Posisi pengelasan : 1G (Mendatar)

Merk mesin las : *Focus*

Arus mesin las : 400A

Polarity mesin las : AC

Jenis elektroda : E - 7018

Diameter elektroda : Ø 2,6mm

Arus pengelasan : 85A, 95A, 105A
 Media Pendingin : Solar, Oli, Air

1
Tabel 1. Ukuran Spesimen Uji Tarik Raw Material

No.	Keterangan	Spesimen 1	Spesimen 2	Spesimen 3
1	Lebar Beban i (mm)	12,5	12,5	12,5
2	Tebal Beban t (mm)	10	10	10
3	Panjang Awal L_0 (mm)	200	200	200
4	Panjang Akhir L_f (mm)	241,72	239,74	228,98
5	Pertambahan Panjang ΔL (mm)	41,72	39,74	28,98
6	ΔL (Yield) (mm)	3,95	4,61	3,73
7	ΔL (Max) (mm)	16,03	16,47	16,3
8	ΔL (Putus) (mm)	41,72	39,74	27,88
9	Beban Luluh (Yield Point) (Kg)	5072,80	5168,40	4384,40
10	Beban Maksimum (Ultimate Strength) (Kg)	6649,60	6590,60	6524,00
11	Beban Putus (Fracture) (Kg)	4637,40	4566,80	4387,80

Luas Penampang

$$A_0 = t \times i = 10\text{mm} \times 12,5\text{ mm} = 125\text{ mm}^2$$

Tegangan

$$\sigma_{(y)} = \frac{P_y}{A_0} = \frac{5072,80}{125\text{ mm}^2} = 40,58\text{ kg/mm}^2$$

$$\sigma_{(\text{Max})} = \frac{P_{\text{Max}}}{A_0} = \frac{6649,60}{125\text{ mm}^2} = 53,19\text{ kg/mm}^2$$

$$\sigma_{(\text{Putus})} = \frac{P_{\text{pts}}}{A_0} = \frac{4637,40}{125\text{ mm}^2} = 37,09\text{ kg/mm}^2$$

Regangan

$$\varepsilon_{(y)} = \frac{\Delta L_y}{L_0} \times 100\% = \frac{203,95\text{ mm} - 200\text{ mm}}{200\text{ mm}} = 1,97\%$$

$$\varepsilon_{(\text{Max})} = \frac{\Delta L_{\text{Max}}}{L_0} \times 100\% = \frac{216,03\text{ mm} - 200\text{ mm}}{200\text{ mm}} = 8,01\%$$

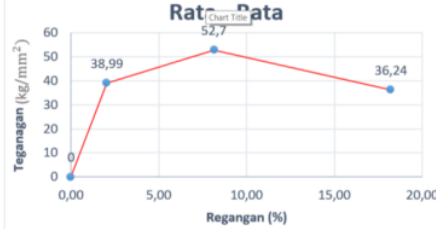
$$\varepsilon_{(\text{Putus})} = \frac{\Delta L_{\text{Putus}}}{L_0} \times 100\% = \frac{241,72\text{ mm} - 200\text{ mm}}{200\text{ mm}} = 20,86\%$$

6
Tabel 2. Data Hasil Untuk Tegangan Dan Regangan Pengujian Tarik Raw Material

Spesimen	Tegangan (kg/mm^2)			Regangan (%)		
	Yield	Maksimum	Putus	Yield	Maksimum	Putus
1	40,58	53,19	37,09	1,97	8,01	20,86
2	41,34	52,72	36,53	2,30	8,23	19,87
3	35,07	52,19	35,10	1,86	8,15	13,94

Tabel 3. Data Rata – Rata Tegangan Dan Regangan Spesimen Raw Material

No	Keterangan	Tegangan (kg/mm^2)	Regangan (%)
1	Yield	38,99	2,04
2	Maksimum	52,7	8,13
3	Putus	36,24	18,22

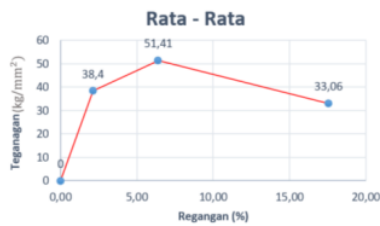


Gambar 8. Grafik Tegangan dan Regangan pada Spesimen Raw Material

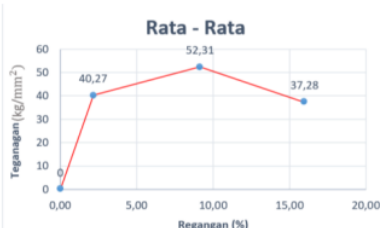
Hasil untuk perhitungan dari Gambar 8, nilai tegangan maksimum paling tinggi yaitu berada pada spesimen 1 dengan tegangan maksimum $53,19\text{ kg/mm}^2$ dengan nilai regangan maksimal 8,01 %. Untuk nilai tegangan maksimal paling rendah berada pada spesimen 3 dengan nilai tegangan maksimal $52,19\text{ kg/mm}^2$ dengan nilai regangan maksimum 8,13 %. Dan nilai rata – rata tegangan maksimum raw material adalah $52,7\text{ kg/mm}^2$ dengan regangan maksimum 8,13 %.



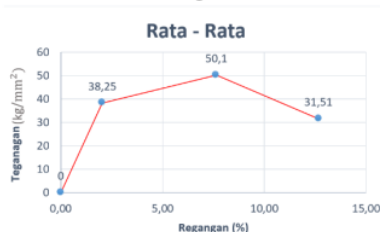
Gambar 9. Grafik Tegangan dan Regangan pada Variasi Pengelasan Arus 85A Media Pendingin Air



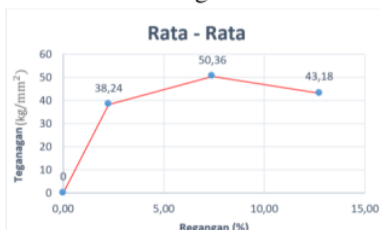
5 Gambar 10. Grafik Tegangan dan Regangan pada Variasi Pengelasan Arus 95A Media Pendingin Air



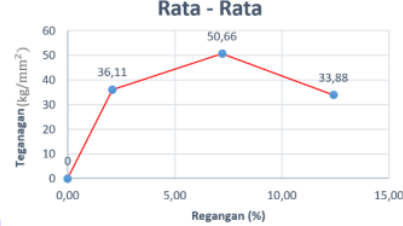
5 Gambar 11. Grafik Tegangan dan Regangan pada Variasi Pengelasan Arus 105A Media Pendingin Air



Gambar 12. Grafik Tegangan dan Regangan pada Variasi Pengelasan Arus 85A Media Pendingin Oli



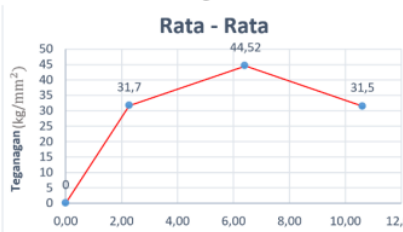
Gambar 13. Grafik Tegangan dan Regangan pada Variasi Pengelasan Arus 95A Media Pendingin Oli



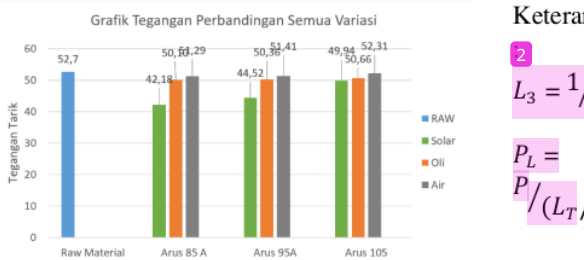
3 Gambar 14. Grafik Tegangan dan Regangan pada Variasi Pengelasan Arus 105A Media Pendingin Oli



3 Gambar 15. Grafik Tegangan dan Regangan pada Variasi Pengelasan Arus 85A Media Pendingin Solar



3 Gambar 16. Grafik Tegangan dan Regangan pada Variasi Pengelasan Arus 95A Media Pendingin Solar



Gambar 17. Grafik Perbandingan untuk Semua Variasi

Gambar 17 menunjukkan bahwa proses pengelasan mempengaruhi hasil tarik material ketika intensitas arus dan media pendingin divariasikan. Dari data diatas nilai uji tarik maksimum media pendingin air untuk variasi arus 105 A diperoleh nilai tarik maksimum rata-rata sebesar $52,31 \text{ kg/mm}^2$ dan nilai regangan sebesar 9,14%. Dan nilai minimum diperoleh dengan variasi arus sebesar 85A buat media pendingin solar dengan nilai rata-rata tegangan maksimum sebanyak $42,18 \text{ kg/mm}^2$ serta nilai regangan sebesar 6,14%. Oleh itu, data grafik memberikan bahwa baja menjadi lebih lunak atau formability (sifat mampu di bentuk) naik.

Hasil Pengujian Struktur Mikro

Tujuan berasal pengujian mikrostruktur ini adalah buat mengetahui akibat perubahan struktur butiran halus baja ASTM A36 setelah terselesaikan proses pengelasan di area logam las, HAZ, dan logam dasar. Pengambilan sampel dilakukan di dua area: logam las, HAZ, dan logam dasar. Untuk pemeriksaan metalografi ini, sampel mikrograf diambil dengan perbesaran mikroskop 1500x. Foto sampel struktur mikro baja ASTM A36 diambil, dan diperoleh hasil sebagai berikut

Pengukuran dan perhitungan besar butir dilakukan dengan menggunakan standart ASTM E – 112

$$G = [-6,646 \log L_3] - 3,298$$

Keterangan

$$L_3 = 1/P_L$$

= panjang garis perpotongan

$$P_L =$$

$$P / (L_T / M)$$

Dimana

$$P =$$

= Jumlah titik potong batas butir dengan lingkaran

$$L_T =$$

= Panjang garis total
(Keliling lingkaran)

$$M =$$

= Perbesaran yang digunakan

Tabel 4. *Grain Size Number (Ukuran Butir) ASTM E – 112*

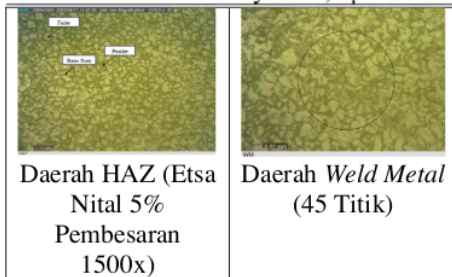
Grain Size No.	N_{10} GrenaUnit Area	Average Grain Area	7 Average Intercept	7' Mean Intercept	N_7
	No. in 7 at 100K	No. Areal at 1K	mm ²	mm	No. Area
0.0	0.25	3.88	0.2891	0.04525	452.5
0.1	0.70	1.06	0.2891	0.04525	312.0
0.5	0.71	0.0912	0.1239	0.02091	302.1
1.0	1.00	0.0645	0.0918	0.02481	238.1
1.5	1.41	0.0465	0.0645	0.02736	213.6
2.0	2.00	0.0323	0.0323	0.01796	180.0
2.5	2.20	0.0258	0.0258	0.01534	174.5
3.0	3.40	0.0205	0.0191	0.01299	127.0
3.5	4.00	0.0170	0.0170	0.01119	113.1
4.0	5.60	0.0130	0.0119	0.00898	98.6
4.5	6.00	0.0120	0.0109	0.00800	80.0
5.0	6.40	0.0110	0.0100	0.00735	73.7
5.5	6.60	0.0100	0.0090	0.00683	65.1
6.0	10.00	0.0090	0.0080	0.00658	56.6
6.5	22.00	0.0072	0.0060	0.00585	47.6
7.0	32.00	0.0062	0.0050	0.00535	41.00
7.5	44.00	0.0050	0.0040	0.00499	34.8
8.0	50.00	0.0040	0.0030	0.00430	31.0
8.5	70.40	0.0034	0.0024	0.00378	28.72
9.0	70.51	0.0029	0.0021	0.00307	26.7
9.5	120.00	0.0020	0.0014	0.00234	22.00
10.0	190.00	0.0016	0.0011	0.00193	19.00
10.5	260.00	0.0013	0.0009	0.00151	16.11
11.0	362.04	0.0011	0.0007	0.00119	14.00
11.5	512.00	0.0009	0.0006	0.00101	11.80
12.0	724.08	0.0008	0.0005	0.00084	9.4
12.5	1024.00	0.0007	0.0004	0.00071	7.7
13.0	1448.15	0.0006	0.0004	0.00060	6.8
13.5	2096.00	0.0005	0.0003	0.00050	5.0
14.0	2880.00	0.0004	0.0002	0.00040	4.2
14.5	4096.00	0.0004	0.0002	0.00035	3.5
15.0	5728.00	0.0003	0.0001	0.00030	3.0
15.5	7888.00	0.0003	0.0001	0.00026	2.6
16.0	10192.00	0.0002	0.0001	0.00023	2.3
16.5	13648.00	0.0002	0.0001	0.00020	2.0
17.0	18256.00	0.0001	0.0001	0.00018	1.7
17.5	24064.00	0.0001	0.0001	0.00016	1.4
18.0	31152.00	0.0001	0.0001	0.00014	1.1
18.5	40064.00	0.0001	0.0001	0.00012	0.9
19.0	51024.00	0.0001	0.0001	0.00010	0.7
19.5	64032.00	0.0001	0.0001	0.00008	0.5
20.0	80048.00	0.0001	0.0001	0.00007	0.3
20.5	100064.00	0.0001	0.0001	0.00006	0.2
21.0	122880.00	0.0001	0.0001	0.00005	0.1
21.5	150000.00	0.0001	0.0001	0.00004	0.05
22.0	182560.00	0.0001	0.0001	0.00003	0.03
22.5	220000.00	0.0001	0.0001	0.00002	0.02
23.0	262560.00	0.0001	0.0001	0.00001	0.01
23.5	311520.00	0.0001	0.0001	0.00001	0.005
24.0	376432.00	0.0001	0.0001	0.00001	0.003
24.5	455360.00	0.0001	0.0001	0.00001	0.002
25.0	548256.00	0.0001	0.0001	0.00001	0.001
25.5	655184.00	0.0001	0.0001	0.00001	0.0008
26.0	776112.00	0.0001	0.0001	0.00001	0.0007
26.5	911040.00	0.0001	0.0001	0.00001	0.0006
27.0	1060960.00	0.0001	0.0001	0.00001	0.0005
27.5	1225984.00	0.0001	0.0001	0.00001	0.0004
28.0	1405952.00	0.0001	0.0001	0.00001	0.0003
28.5	1600960.00	0.0001	0.0001	0.00001	0.0002
29.0	1815984.00	0.0001	0.0001	0.00001	0.0002
29.5	2045984.00	0.0001	0.0001	0.00001	0.0001
30.0	2300000.00	0.0001	0.0001	0.00001	0.0001
30.5	2575984.00	0.0001	0.0001	0.00001	0.0001
31.0	2875984.00	0.0001	0.0001	0.00001	0.0001
31.5	3200000.00	0.0001	0.0001	0.00001	0.0001
32.0	3550960.00	0.0001	0.0001	0.00001	0.0001
32.5	3925984.00	0.0001	0.0001	0.00001	0.0001
33.0	4325984.00	0.0001	0.0001	0.00001	0.0001
33.5	4750960.00	0.0001	0.0001	0.00001	0.0001
34.0	5205984.00	0.0001	0.0001	0.00001	0.0001
34.5	5700960.00	0.0001	0.0001	0.00001	0.0001
35.0	6235984.00	0.0001	0.0001	0.00001	0.0001
35.5	6810960.00	0.0001	0.0001	0.00001	0.0001
36.0	7425984.00	0.0001	0.0001	0.00001	0.0001
36.5	8070960.00	0.0001	0.0001	0.00001	0.0001
37.0	8755984.00	0.0001	0.0001	0.00001	0.0001
37.5	9470960.00	0.0001	0.0001	0.00001	0.0001
38.0	10215984.00	0.0001	0.0001	0.00001	0.0001
38.5	11080960.00	0.0001	0.0001	0.00001	0.0001
39.0	12065984.00	0.0001	0.0001	0.00001	0.0001
39.5	13169960.00	0.0001	0.0001	0.00001	0.0001
40.0	14393984.00	0.0001	0.0001	0.00001	0.0001
40.5	15737960.00	0.0001	0.0001	0.00001	0.0001
41.0	17209960.00	0.0001	0.0001	0.00001	0.0001
41.5	18809960.00	0.0001	0.0001	0.00001	0.0001
42.0	20539960.00	0.0001	0.0001	0.00001	0.0001
42.5	22409960.00	0.0001	0.0001	0.00001	0.0001
43.0	24329960.00	0.0001	0.0001	0.00001	0.0001
43.5	26399960.00	0.0001	0.0001	0.00001	0.0001
44.0	28559960.00	0.0001	0.0001	0.00001	0.0001
44.5	30809960.00	0.0001	0.0001	0.00001	0.0001
45.0	33159960.00	0.0001	0.0001	0.00001	0.0001
45.5	35609960.00	0.0001	0.0001	0.00001	0.0001
46.0	38159960.00	0.0001	0.0001	0.00001	0.0001
46.5	40809960.00	0.0001	0.0001	0.00001	0.0001
47.0	43559960.00	0.0001	0.0001	0.00001	0.0001
47.5	46399960.00	0.0001	0.0001	0.00001	0.0001
48.0	50239960.00	0.0001	0.0001	0.00001	0.0001
48.5	54159960.00	0.0001	0.0001	0.00001	0.0001
49.0	58159960.00	0.0001	0.0001	0.00001	0.0001
49.5	62239960.00	0.0001	0.0001	0.00001	0.0001
50.0	66399960.00	0.0001	0.0001	0.00001	0.0001
50.5	70639960.00	0.0001	0.0001	0.00001	0.0001
51.0	75009960.00	0.0001	0.0001	0.00001	0.0001
51.5	79509960.00	0.0001	0.0001	0.00001	0.0001
52.0	84159960.00	0.0001	0.0001	0.00001	0.0001
52.5	88909960.00	0.0001	0.0001	0.00001	0.0001
53.0	93759960.00	0.0001	0.0001	0.00001	0.0001
53.5	98659960.00	0.0001	0.0001	0.00001	0.0001
54.0	103609960.00	0.0001	0.0001	0.00001	0.0001
54.5	108609960.00	0.0001	0.0001	0.00001	0.0001
55.0	113659960.00	0.0001	0.0001	0.00001	0.0001
55.5	118759960.00	0.0001	0.0001	0.00001	0.0001
56.0	123909960.00	0.0001	0.0001	0.00001	0.0001
56.5	129109960.00	0.0001	0.0001	0.00001	0.0001
57.0	134359960.00	0.0001	0.0001	0.00001	0.0001
57.5	139609960.00	0.0001	0.0001	0.00001	0.0001
58.0	144859960.00	0.0001	0.0001	0.00001	0.0001
58.5	150109960.00	0.0001	0.0001	0.00001	0.0001
59.0	155359960.00	0.0001	0.0001	0.00001	0.0001
59.5	160609960.00	0.0001	0.0001	0.00001	0.0001
60.0	165859960.00	0.0001	0.0001	0.00001	0.0001
60.5	171109960.00	0.0001	0.0001	0.00001	0.0001
61.0	176359960.00	0.0001	0.0001	0.00001	0.0001
61.5	181609960.00	0.0001	0.0001	0.00001	0.0001
62.0	186859960.00	0.0001	0.0001	0.00001	0.0001
62.5	192109960.00	0.0001	0.0001	0.00001	0.0001
63.0	197359960.00	0.0001	0.0001	0.00001	0.0001
63.5	202609960.00	0.0001	0.0001	0.00001	0.0001
64.0	207859960.00	0.0001	0.0001	0.00001	0.0001
64.5	213109960.00	0.0001	0.0001		

$$\begin{aligned}
 P &= 45 \text{ Titik} \\
 M &= 1500x \\
 L_T &= (\text{Keliling Lingkaran}) = (150 \times \pi) = 471 \\
 P_L &= \frac{45}{(471/1500)} = 143,31 / \text{mm} \\
 L_3 &= \frac{1}{N_L} = \frac{1}{P_L} = \frac{1}{143,31} = 0,006 \\
 G &= [-6,646 \log L_3] - 3,298 \\
 G &= [-6,646 \log 0,006] - 3,298 \\
 &= 11,468 \approx 11
 \end{aligned}$$

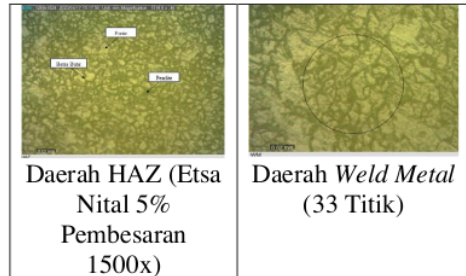
Semakin besar ukuran butiran maka semakin kecil diameter butiran yang dihasilkan. Silakan merujuk ke tabel *grain size number* butiran untuk informasi lebih lanjut. (Angka Besaran Butir) ASTM E – 112 dibawah ini.

Open Size No. D	\bar{A}_G Open/Unit Area No. dm ²	No. dm ² at 1X dm ²	\bar{A} Average Grain Area μm^2	\bar{A}^2 Average Grain Area μm^2	\bar{A}^3 Mean Intercept mm	\bar{A}^3 Mean Intercept μm	No. dm ²
00	0.25	3.88	0.2581	260004	0.0000	508.0	0.025
0	0.50	7.75	0.1250	120000	0.0002	599.2	0.1200
0.5	1.00	15.50	0.0625	91250	0.0003	302.0	0.2400
1.0	2.00	31.00	0.0313	64916	0.0004	214.0	0.4800
1.5	4.00	62.00	0.0156	25400	0.0005	127.0	0.9600
2.0	8.00	124.00	0.0078	12700	0.0006	63.5	1.9200
2.5	2.00	31.00	0.0023	32250	0.0007	179.6	0.1600
3.0	4.00	43.00	0.0012	23000	0.0008	115.0	0.3200
3.5	8.00	86.00	0.0006	19125	0.0009	72.0	0.1600
4.0	16.00	172.00	0.0003	14720	0.0010	43.0	0.3200
4.5	32.00	344.00	0.00015	9816	0.0011	21.5	0.1600
5.0	64.00	688.00	0.000075	5703	0.0012	11.0	0.3200
5.5	128.00	1376.00	0.0000375	4032	0.0013	5.5	0.1600
6.0	256.00	2752.00	0.00001875	2952	0.0014	2.8	0.3200
6.5	512.00	5504.00	0.000009375	1480	0.0015	1.4	0.1600
7.0	1024.00	11008.00	0.0000046875	1000	0.0016	0.7	0.3200
7.5	2048.00	22016.00	0.00000234375	1000	0.0017	0.35	0.1600
8.0	4096.00	44032.00	0.000001171875	1000	0.0018	0.175	0.3200
8.5	8192.00	88064.00	0.000005859375	1000	0.0019	0.0875	0.1600
9.0	16384.00	176128.00	0.0000029296875	1000	0.0020	0.04375	0.3200
9.5	32768.00	352256.00	0.00000146484375	1000	0.0021	0.021875	0.1600
10.0	65536.00	704512.00	0.000000732421875	1000	0.0022	0.0109375	0.3200
11.0	131072.00	140872.00	0.0000003662109375	1000	0.0023	0.00546875	0.1600
12.0	262144.00	281744.00	0.00000018310546875	1000	0.0024	0.002734375	0.3200
12.5	524288.00	563488.00	0.000000091552734375	1000	0.0025	0.0013671875	0.1600
13.0	1048576.00	1126976.00	0.0000000457763671875	1000	0.0026	0.00068359375	0.3200
13.5	2097152.00	2253952.00	0.00000002288818359375	1000	0.0027	0.000341796875	0.1600
14.0	4194304.00	4507904.00	0.000000011444091796875	1000	0.0028	0.0001708984375	0.3200

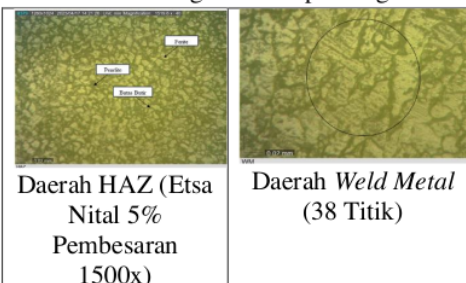
Bisa dilihat pada tabel *grain size number* ASTM E – 112 nilai dari hasil perhitungan besar butiran untuk material ASTM A36 dengan Arus 85A Dengan Media Pendingin Air diperoleh hasil nomor *grain size number* 11 dengan besar diameter butir 0,0079 mm jika dikonversikan ke μm maka nilai besar butir tersebut yaitu 7,9 μm .



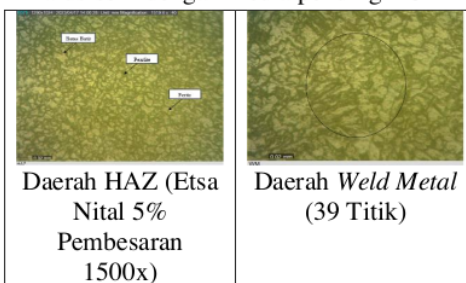
Gambar 19. Pengujian pada struktur mikro arus 95A dengan media pendingin air



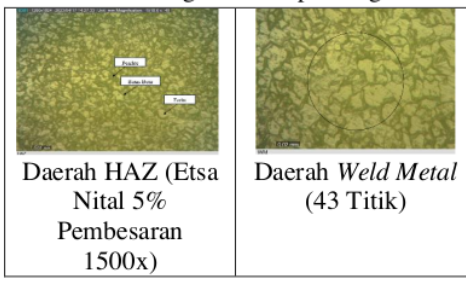
Gambar 20. Pengujian pada struktur mikro arus 105A dengan media pendingin air



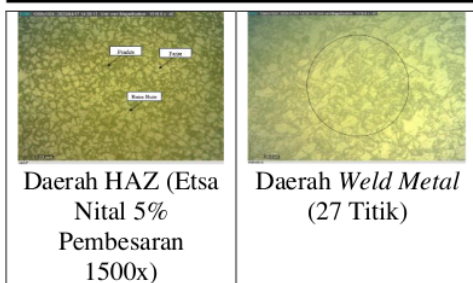
Gambar 21. Pengujian pada struktur mikro arus 85A dengan media pendingin oli



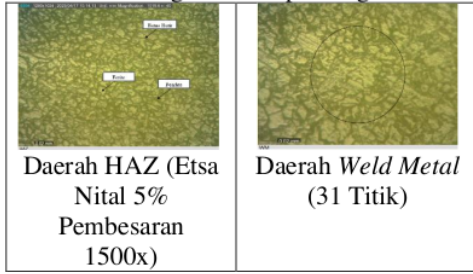
Gambar 22. Pengujian pada struktur mikro arus 95A dengan media pendingin oli



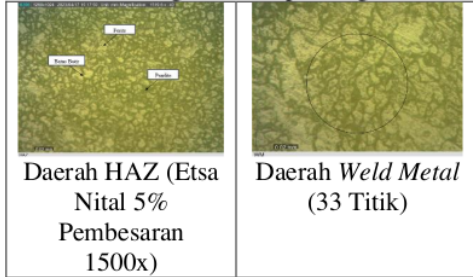
Gambar 23. Pengujian pada struktur mikro arus 105A dengan media pendingin oli



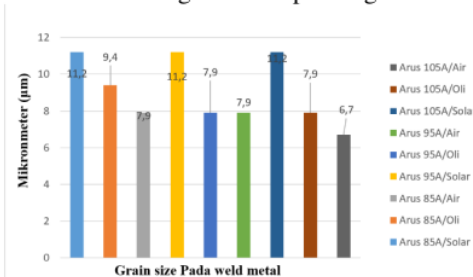
Gambar 24. Pengujian pada struktur mikro arus 85A dengan media pendingin Solar



Gambar 25. Pengujian pada struktur mikro arus 95A dengan media pendingin Solar



Gambar 26. Pengujian pada struktur mikro arus 105A dengan media pendingin Solar

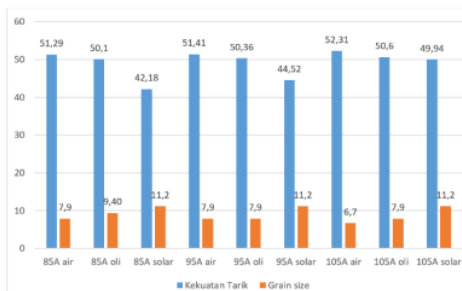


Gambar 27. Grafik Perbandingan besar butir untuk Weld Metal

Bisa dicermati pada grafik *grain size number* ASTM E – 112 nilai dari akibat perhitungan besar butiran buat material baja ASTM A36 di daerah *Weld Metal* menggunakan variasi kuat Arus 85A, 95A,

105A dan Media Pendingin Solar, Oli, dan Air memperoleh hasil angka *Grain size* paling besar yaitu 11,2 dengan besar diameter butir 0,0112 mm dan diperoleh juga hasil angka *Grain size* paling kecil 6,7 menggunakan akbar diameter buah yaitu 0,0067 mm. butir yg mengembang menyebabkan menurunnya nilai kekuatan buat material tadi.

Hubungan Nilai Kekuatan Tarik Terhadap Struktur Mikro



Gambar 28. Gambar Grafik Hasil Nilai Uji Tarik dan *Grain size*

KESIMPULAN DAN SARAN

Dari hasil analisa data diatas pengaruh kuat arus dan media pendingin pada pengelasan baja ASTM A36, dapat disimpulkan sebagai berikut :

- hasil untuk pengujian Tarik, Dari data diatas nilai uji tarik maksimum media pendingin air untuk variasi arus 105 A diperoleh nilai tarik maksimum rata-rata sebesar 52,31 kg/mm² dan nilai regangan sebesar 9,14%. serta nilai minimum diperoleh dengan variasi arus sebesar 85A buat media pendingin solar dengan nilai rata-homogen tegangan maksimum sebanyak 42,18 kg/mm² serta nilai regangan sebanyak 6,14%.

Dapat disimpulkan bahwa variasi arus dan media pendingin perlu disesuaikan dengan standar atau spesifikasi pengelasan.

2. Dari hasil pengujian struktur mikro, nilai ukuran butir baja ASTM A36 pada rentang logam las 85A, 95A, dan 105A perubahan intensitas arus menggunakan media pendingin menunjukkan angka ukuran butir maksimum sebesar 11,2 dengan ukuran butir 0,0112 mm; Selain itu diperoleh angka ukuran partikel minimal 6,7 dengan ukuran partikel 0,0067 mm. Butir yang membesar mengakibatkan menurunnya nilai kekuatan pada material tersebut.

Saran

1. Gunakan alat keselamatan ketika proses pada saat pengelasan dan pengambilan sampel untuk mencegah terjadinya bahaya dan kecelakaan kerja pada saat melakukan proses pengelasan dan saat pengambilan sampel.
2. Pada saat penelitian ini perlu diperhatikan kondisi umum pemeriksaan mikrostruktur agar tidak terjadi kesalahan.

REFERENSI

- Alfatih & Rismawan , 2014. Studi Pengaruh Arus dan Waktu Pengelasan Terhadap Sifat Mekanik Sambungan Las Titik (*Spot Welding*) Logam Tak Sejenis.
- ASME SECTION IX 2021 *Welding, Brazing, and fusing Qualifications*..:ASME BPVC.IX NO 194. .
- ASTM International (E8/E8M-04). 2010. *Standard Test Methods For Tension Testing Of Metallic Materials*. United States Of American.
- AWS (American Welding Society) An American Nation Standart D1.1, 2015, Structural Welding Code – Steel.
- Chandra & Pamudya, 2013. Pengaruh Tegangan Listrik dan Waktu Pengelasan Terhadap Karakteristik Fisik dan Mekanik Sambungan Las Titik 3 Lapis Baja Tahan Karat Dengan Kandungan Nikel Yang Berbeda. Jurnal Teknik Mesin UMS.
- Kurniawan, Nurcahyo., 2017. *Pengaruh Variasi Besar Sudut Kampuh V Tunggal Terhadap Struktur Mikro, Kekerasan, Dan Kekuatan Tarik Material Baja SS 400 Dengan Metode SMAW*. Fakultas Keguruan dan Ilmu Pendidikan. Program Studi Teknik Mesin. Universitas Sebelas Maret, Surakarta.
- Romadhon , I. F., 2021. Studi Pengaruh Arus Pengelasan SMAW Terhadap Kekuatan Tarik dan Cacat Pengelasan Pada Baja ST 42. *INVENTOR, Journal Of Secience And Technology*, Volume 2 No 1, 5-10.
- Wiryosumarto, Harsono dan Okumura, Toshie., 1996. *Teknologi Pengelasan Logam*. Jakarta: Pradnya Paramita.
- Yoga. Pratama. & Erlangga, F. D., 2022. Pengaruh Variasi Temperatur NORMALIZING Terhadap Perubahan Butir Struktur Mikro dan Sifat Mekanik Pada Material Baja ST 42 Elektroda E7018.

ANALISIS PENGARUH VARIASI KUAT ARUS DAN MEDIA PENDINGIN TERHADAP KEKUATAN TARIK DAN STRUKTUR MIKRO DENGAN PENGELASAN SMAW PADA BAJA ASTM A36

ORIGINALITY REPORT



PRIMARY SOURCES

- | | | |
|---|--|----|
| 1 | Submitted to Universitas 17 Agustus 1945 Surabaya
Student Paper | 6% |
| 2 | repository.upstegal.ac.id
Internet Source | 2% |
| 3 | Dadang Sanjaya Atmaja, Henry Widya Prasetya, Mochammad Gilang Naufal Hamdani. "Material Hibrid Komposit Nilon-Rami-Epoksi Untuk Roda Lori Inspeksi", Jurnal Perkeretaapian Indonesia (Indonesian Railway Journal), 2023
Publication | 2% |
| 4 | repository.its.ac.id
Internet Source | 1% |
| 5 | jurnal.polines.ac.id
Internet Source | 1% |
| 6 | ojs.ummetro.ac.id
Internet Source | 1% |

Exclude quotes Off

Exclude bibliography Off

Exclude matches Off